

## ダイバージェンス型吊橋の耐風安定性に関する実験的研究

徳島大学 工学部 正員 宇都宮英彦  
徳島大学 工学部 正員 長尾 文明

徳島大学大学院  
金沢大学大学院

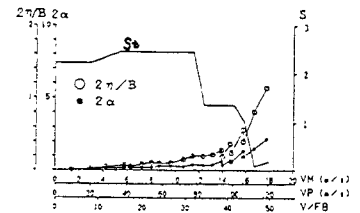
学生員 ○佐野 演秀  
学生員 細矢 知秀

**はじめに** 吊橋の耐風性を剛性により安定させる従来の設計方法に代わる方法として、J.R.Richardsonの提案した Twin Bridge の概念<sup>1)</sup>を基に捩れと撓みモードの固有振動数比 ( $f_\alpha / f_\gamma$ ) を1.0として曲げ捩れフランジャーを回避し、支配的な空力現象を静的な現象であるダイバージェンスだけにしようとするダイバージェンス型吊橋が考えられ、その耐風性が検討されてきた。これまでダイバージェンス型吊橋の空力安定性は、図1 各風速における応答振幅イバージェンスの発現風速  $V_D = (2 \cdot K_t / \rho \cdot S_t \cdot b^2)^{1/2}$  を式中の空力モーメント係数 ( $C_M$ ) 曲線の勾配  $S_t$  を0に近付けることによって高めることにより確保されたとされてきた。しかし、図1のように  $S_t$  が0に近付くと撓みの不安定な振動が発生することが報告されている<sup>2)</sup>。本研究はこの撓み振動の原因を探り、ダイバージェンス型吊橋の耐風安定性を検討するものである。

**実験概要** 実験模型は、図2に示されるような二次元剛体模型を使用した。また、 $S_t$  が0に近い値であると捩れフランジャーが発生することが報告されており<sup>3)</sup>、対象とする撓み振動が捩れフランジャーに伴って生じたものと仮定し検証のために実験を行った。捩れフランジャーは、 $S_t$  が負の値の場合に発生し易いため、図3に示されるように空力モーメント係数 ( $C_M$ ) 曲線が、迎角0°付近で迎角に対して負の勾配を持つ模型断面を選定し、迎角が負の勾配の範囲で実験を行った。更に、振動数比、極慣性モーメント、捩れ剛性等の構造特性の影響を調査するため表1に示すような4つのケースについて実験を行った。

**実験結果および考察** 図4～図7を参照して、先ず、ダイバージェンス型の応答図について説明を加えると、ケース2とケース4は捩れフランジャーのSelf Starting Pointを持たないという結果になっているが、高風速域になると図1と同様に捩れ振幅はほぼ一定であるのに対して撓み振幅の増大が著しいという現象が見られる。それとは対照的にケース3ではSelf Starting Pointを持ち、比較的低風速域で発散している。各構造パラメータを比較すると、換算風速に対する応答は捩れ剛性で基準化しているので捩れ剛性に関係無く極慣性モーメントの大きいものがSelf Starting Pointが出現しないという安定な挙動を示したのに対し、極慣性を減少させたケース3はSelf Starting Pointが出現するという結果となった。この応答の相異は捩れの慣性エネルギーの大小という構造的な要因と考えることができる。また、振動数比の影響を調べる為にケース1とケース2の応答図を比較すると、ケース1では極慣性モーメントが大きい値であるにも関わらず捩れフランジャーのSelf Starting Pointを持っている。以上の実験結果より撓みと捩れの振動数比が1.0に近く、極慣性モーメントがある程度の大きさを持つ場合に図1に見られる撓みの不安定振動は、捩れフランジャーに起因するものであると考えられる。捩れ運動が撓み運動として現われる原因是以上の実験より明らかにすることは難しいが、このような構造特性の場合、捩れ振動のエネルギーが撓み振動のエネルギーに系を乗り越えて変換される、または、捩れの回転中心が断面前方に移動したことにより捩れ振動が見掛け上撓み振動として検出されていると考えることができ、現象の解明にはこれら2つのアプローチより研究を進める必要がある。

**結論** 本研究では、ダイバージェンス型吊橋において  $S_t$  が小さい値の場合に生ずる撓みの不安定振動は捩れフランジャーに起因するものであることがわかった。さらに捩れ運動が撓み運動として現われる原因を明確にすると共に、ダイバージェンス型吊橋の耐風安定性の確保に必要な  $S_t$  の値の定量化を行う必要がある。



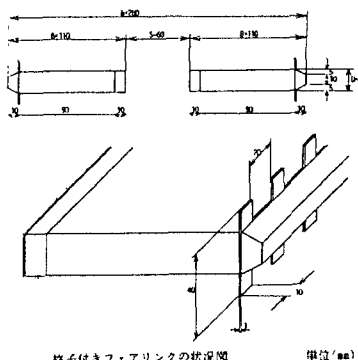


図2 模型断面

表1 各ケースの構造特性

| ケース | 振れ自由度                    |   |                     | 横み自由度 | 振動数[Hz] |       |       |
|-----|--------------------------|---|---------------------|-------|---------|-------|-------|
|     | 振り剛性<br>$K_{ff} [N/m^2]$ | 横慣性モーメント<br>$K_{ff \cdot ss^2} [N \cdot m^2/rad^2]$ | 固有振動数<br>$f_0 [Hz]$ |       |         |       |       |
| 1   | 0.647                    | $2.25 \times 10^2$                                  | 2.697               | 17.8  | 0.150   | 1.733 | 1.560 |
| 2   | 0.525                    | $1.83 \times 10^4$                                  | 2.692               | 45.9  | 0.151   | 2.778 | 0.969 |
| 3   | 0.631                    | $9.99 \times 10^4$                                  | 4.000               | 97.7  | 0.136   | 4.259 | 0.939 |
| 4   | 0.238                    | $1.93 \times 10^4$                                  | 1.762               | 18.2  | 0.139   | 1.818 | 0.969 |

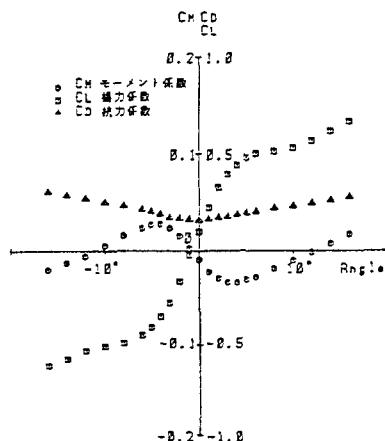


図3 模型断面の空気力特性

## &lt;&lt;参考文献&gt;&gt;

1) Richardson, J.R.: The development of the Concept of the Twin Suspension bridge, NMI, R125, Oct. 1981.

2) 宇都宮英彦、長尾文明、川上剛司、佐野演秀：ダイバージェンス型吊橋の耐風性（IV），土木学会，第41回中国四国支部研究発表会講演概要集，I-11, 1989, 5.

3) 阪神高速道路公団、財団法人防災研究協会：斜張橋断面のパフェッティング振動に関する研究調査 大阪港周辺における自然強風の耐風工学特性に関する研究調査 昭和50年度報告書，昭和51年3月

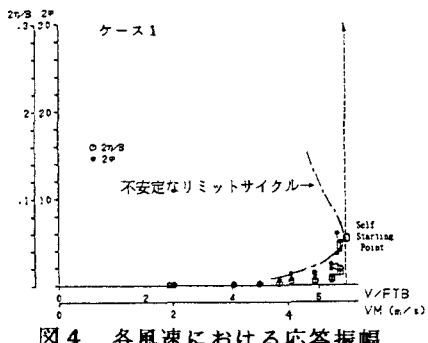


図4 各風速における応答振幅

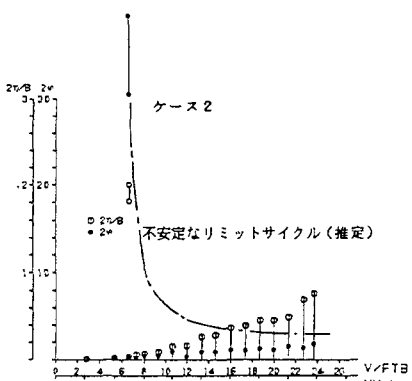


図5 各風速における応答振幅

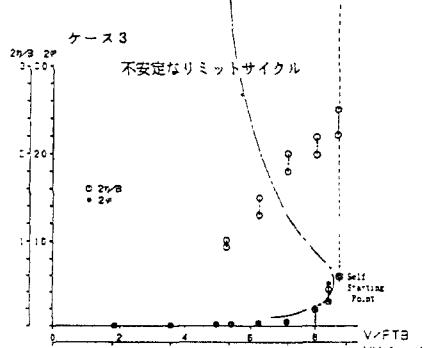


図6 各風速における応答振幅

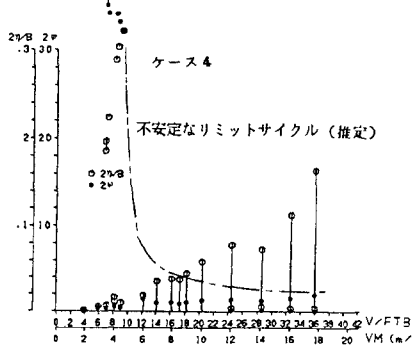


図7 各風速における応答振幅